

中华人民共和国煤炭行业标准

MT/T 794—1998

粗粒岩土大三轴抗剪强度的测定

Testing of shear strength for thick particle rock and soile by large triaxiae

1998-11-10 批准 1999-04-01 实施

目 次

1	范围	••••	• • • • • • • • • • • • • • • • • • • •	•••••	• • • • • • • • • • • • • • • • • • • •	•••••	• • • • • • • • • • • • • • • • • • • •	•••••	• • • • • • • • • • • • • • • • • • • •	• • • • • • • • • • • • • • • • • • • •	• • • • • • • • • • • • • • • • • • • •	• • • • • • • • • • • • • • • • • • • •	•••••	••••	1
2	引用	标准				•••••		• • • • • • • • • • • • • • • • • • • •							1
3	仪器	设备													1
4	试验	一般要	₹求			•••••		• • • • • • • • • • • • • • • • • • • •							2
5	试样	制备和	1饱和 •												2
6	试验	方法			• • • • • • • • • • • • • • • • • • • •	•••••						•••••			3
7	数据	整理、	计算和制	图	• • • • • • • • • • • • • • • • • • • •	•••••			• • • • • • • • • • • • • • • • • • • •			• • • • • • • • • • • • • • • • • • • •			5
附	录 A	(提示	(的附录))	• • • • • • • • • • • • • • • • • • • •	•••••		• • • • • • • • • • • • • • • • • • • •				•••••			9
附	录 B	(提示	的附录)	•••••		• • • • • • • • • • • • • • • • • • • •		• • • • • • • • • • • • • • • • • • • •		• • • • • • • • • • • • • • • • • • • •		•••••		••• 1	10
附	录 C	(提示	的附录)]	11

粗粒岩土大三轴抗剪强度的测定

1 范围

本标准规定了粗粒岩土散体的大三轴抗剪强度测定的仪器设备、试样制备、测定方法和步骤、测定结果整理与计算。

本标准适用于粒径不大于 6 cm 的粗粒岩土散体,测定三轴抗剪强度参数、散体固结密度、变形性质和孔隙压力系数。也可用于原状软岩土大三轴抗剪强度测定。

2 引用标准

下列标准所包含的条文,通过在本标准中引用而构成本标准的条文。在标准出版时,所示版本均为有效。所有标准都会被修订,使用本标准的各方应探讨使用下列标准最新版本的可能性。

SD 128-1987 土工试验规程

3 仪器设备

3.1 大三轴剪力仪

主要由压力室、周围压力系统、体变测量系统、孔隙压力测量系统等部分组成,如图1所示。

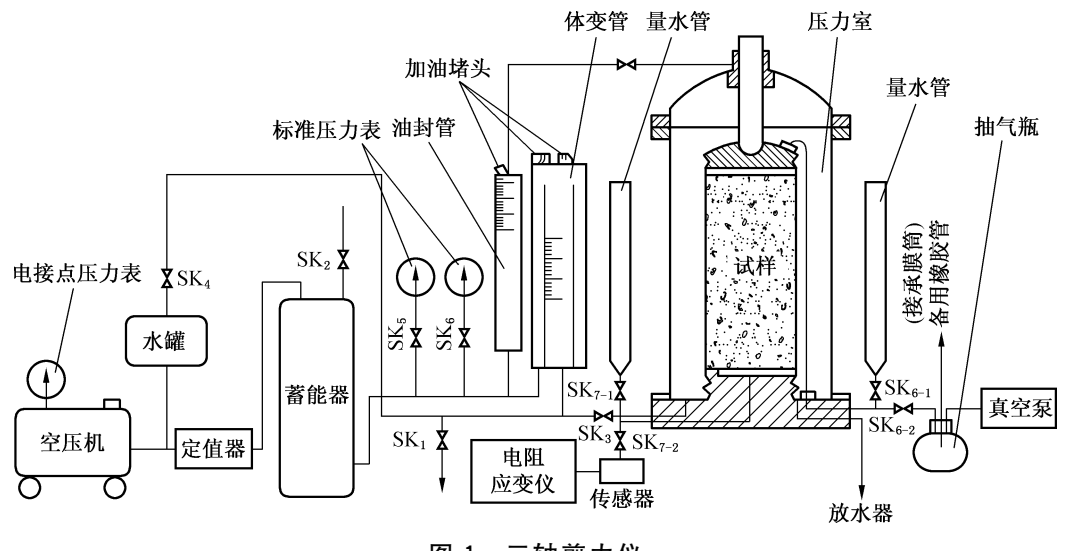


图 1 三轴剪力仪

3.2 附属设备和材料

包括对开成型筒、承膜筒、击实锤、橡皮膜、真空泵、真空瓶、空压机、氮气瓶、排水量管、吊绳、天车、三通阀、磅秤、测力计、机电百分表、位移计、电子天平、烘箱、秒表等。

3.3 测试系统

包括微机、X-Y函数记录仪、位移传感器、压力传感器、机电百分表、A/D模数转换器、D/A数模转换器及接口等。

该测试系统测试结果可由测表人工读数记录、电测数显记录和微机自动检测三种方法获得。实际采用一种方法即可。

4 试验一般要求

- 4.1 每组试样数量;
- 4.2 物料粒径不大于 6 cm,试样直径为 30 cm,高为 70±5cm;
- 4.3 根据工程需要试验分为不固结不排水剪(UU)、固结不排水剪(CU)、固结排水剪(CD)三种方法;
- 4.4 无论采用哪一种试验方法,都必须首先对试样进行饱和。
- 4.5 试验前应对仪器设备进行检查和率定:
- a)轴向压力系统、周围压力系统运行正常,检查储能器、水罐内的水量是否达到要求,检查油路系统是否漏油、油箱内的油量是否够用;
- b) 空压机、真空泵是否运行正常,检查空压机气路是否漏气,真空泵内的油是否达到规定位置,油不应混浊;
- c)压力室应密闭,传压活塞应在轴套内滑动正常,各管道、接头、三通阀畅通、孔隙压力量测系统的 管道内应无气泡,检查完毕后,关闭周围压力阀、排水阀、孔隙压力阀等;
 - d) 对测试系统和自动检测微机系统进行调试和率定。

5 试样制备和饱和

5.1 备料

- 5.1.1 将所采取的物料拌和均匀,如果物料为无黏性砂土,可喷少量水拌和,然后按四分对角法取样进行颗粒分析。见 SD128。
- 5.1.2 每组试样不少于 300 kg, 备好样后立即取样, 采用烘干法测定含水量。
- 5.1.3 根据试验要求的干密度、含水量及试样尺寸计算所需用料。

5.2 制样步骤

- 5.2.1 将透水石、滤纸依次放在压力室底座上;
- 5.2.2 扎好橡皮膜,安装对开成型筒,将橡皮膜贴紧在成型筒内壁,外翻在成型筒上;
- 5.2.3 将备好的物料依次称重后装入成型筒内,一般一层为 10 kg,用击实法将物料击实,每层击实后应拂平表面并刨毛,试样装好后依次放上滤纸、透水石、顶帽并扎紧橡皮膜,
- 5.2.4 开动真空泵,从试样顶部抽气,使试样在负压下直立成型,去掉成型筒,测量试样高度 H、直径 D。按式(1)、(2)计算试样平均高度和平均直径。测定和计算数据填入附录 A。

$$H = \frac{1}{3}(H_1 + H_2 + H_3) \qquad \dots (1)$$

$$D = \frac{1}{4}(D_1 + D_2 + D_3) - 2t \qquad \dots (2)$$

式中:

 H_1 、 H_2 、 H_3 ——分别为试样三侧测得的高度,cm;

 D_1 、 D_2 、 D_3 — 分别为试样上部、中部、下部测得的直径, cm;

t---乳胶膜厚度,cm。

5.2.5 安装压力室盖,旋紧连接螺栓,打开压力室排气孔,向压力室注满水,关排气孔,开轴向压力机, 当试样与传力活塞和测力计接触时,立即停机,读出轴向变形计读数。

5.3 试样饱和

对试样饱和采用抽气与水头联合饱和的方法。

5.3.1 打开周围压力阀对试样施加 30 kPa 的预压,开动真空泵抽气,试样内形成负压,并提高盛水容器高度,使水从试样底部进入试样,当观察到真空瓶内出水,继续饱和 20 min,饱和中要测定进水和出水质量。

- 5.3.2 停止抽气,将与试样底部和顶部连接的量水管加适量水,打开阀门观察量管内水位变化,提高底部量水管,若顶部量管水位上升且与底部量管水位下降等量,即可关闭阀门,试样已达到饱和。
- 5.3.3 如果没有达到要求,仍按5.3.1 抽气饱和直至符合要求。
- 5. 3. 4 通过计算孔隙压力系数 B 鉴别饱和度,若 B 值大子或等于 0. 95 时,认为试样已达饱和,否则应继续饱和。B 值按式(3)计算:

$$B = \frac{u}{\sigma_3} \qquad \cdots (3)$$

式中:

u——孔隙水压力,kPa;

 σ_3 ——周围压力,kPa。

6 试验方法

- 6.1 不固结不排水剪(UU)
- 6.1.1 试样饱和后,关进水阀、排水阀,开周围压力阀,施加设定的周围压力至恒定值,测定初始孔隙水压 u。
- 6.1.2 调试自动检测系统至测定状态:接A/D转换插头、开动函数记录仪和微机。
- 6. 1. 3 开动压力机,同时开动秒表,对非粘性粗粒岩土以每分钟轴向应变 $0.5\% \sim 1.0\%$ 的速度对粘性粗粒岩土为 $0.1\% \sim 0.5\%$,施加轴向压力。每分钟记录测力计和轴向变形计读数一次。
- 6.1.4 当峰值出现后,继续测记 3~5 次后关机;如无峰值时,则至轴向应变达 15%~20%时关机。试验数据填入附录 A,自动检测系统同时采集数据,函数记录仪自动绘制轴向荷载一轴向变形曲线。
- 6.1.5 试验结束后,先卸去轴向压力,再卸周围压力,打开压力室排气孔和排水阀,排除压力室内的水; 拆除压力室外罩,揩干试样周围余水,去掉橡皮膜,对剪后试样进行描述。
- 6.1.6 其余几个试样分别在不同周围压力下,按6.1.1至6.1.5进行试验。
- 6.2 固结不排水剪(CU)
- 6.2.1 进行排水固结,步骤如下:
 - a) 同 6.1.1;
- b) 打开排水阀,同时开动秒表,对非黏性粗粒岩土按 $20\sim30$ s 测记排水量管水位和孔隙压力计读数各一次,在固结过程中随时绘制排水量 ΔV 与时间 t 或孔隙压力 u 与时间 t 的关系曲线(见图 2),曲线下段趋于水平,即排水量趋于稳定,固结完成。

对黏性粗粒岩土按 $t_1 = (0, \frac{1}{2}, 1, 2, 3, \dots, n)$ min 时间测记固结排水量和孔隙水压力,在固结过程中随时绘制固结排水量 ΔV 与时间 t 的对数(或平方根)关系曲线,见图 3,判断固结是否完成。

- c) 固结完成后,关排水阀,开动压力机,当轴向压力计量表指针微动时,表示活塞与试样接触;
- d) 同 6.1.2 关压力机,测定轴向变形读数,计算固结下沉量 Δh 。固结数据按附录 A 记录。
- 6.2.2 开动压力机,同时开动秒表,对非黏性粗粒岩土以每分钟轴向应变为 0.1%~1.0%的速率(对黏性粗粒岩土为 0.05%~0.1%)施加轴向压力。每分钟记录测力计、轴向变形计和孔隙压力计读数一次。
- 6.2.3 同 6.1.4。
- 6.2.4 同 6.1.5。
- 6.2.5 其余几个试样分别在不同周围压力按 6.2.1 至 6.2.4 进行试验。试验数据按附录 B₁ 记录。

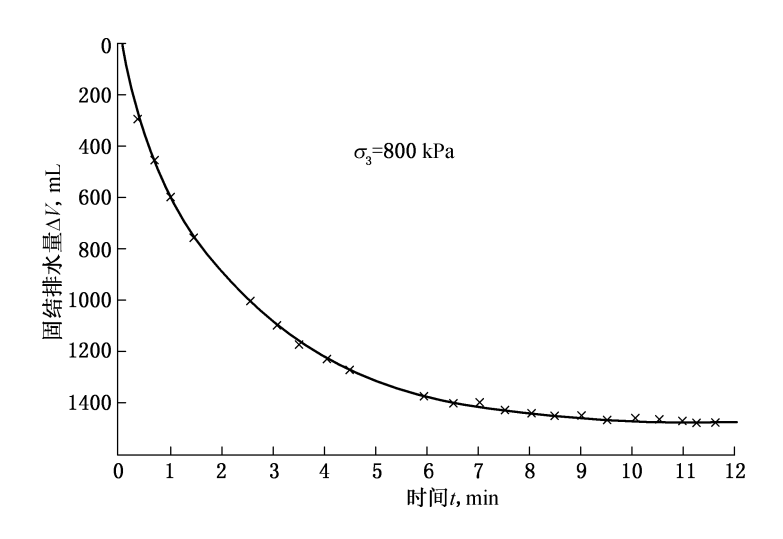


图 2 排水量 ΔV 与时间 t 关系曲线

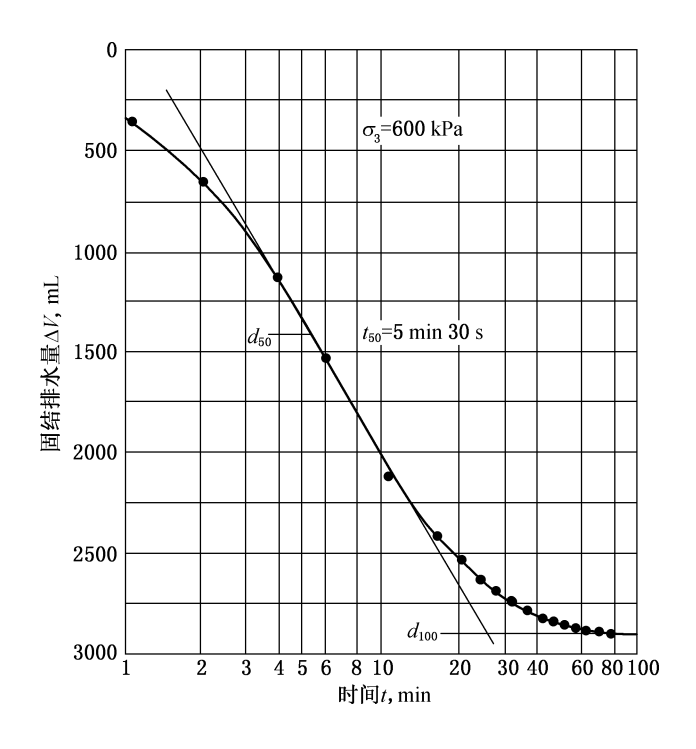


图 3 固结排水量与时间对数关系曲线

6.3 固结排水剪(CD)

- 6.3.1 同 6.2.1。
- 6.3.2 打开排水阀,开动压力机,同时开动秒表,对非黏性粗粒岩土以每分钟轴向应变为 $0.1\%\sim0.5\%$ 的速率(对黏性粗粒岩土为 $0.003\%\sim0.012\%$)施加轴向压力。每分钟记录测力计、轴向变形计、上下排水量管水位读数 1 次。
- 6. 3. 3 同 6. 1. 4。
- 6.3.4 同 6.1.5。
- 6.3.5 其余几个试样分别在不同周围压力下按6.3.1至6.3.4进行,试验数据按附录C表C1记录。

7 数据整理、计算和制图

7.1 试样固结后的高度 h_c 、面积 A_c 和体积 V_c ,计算试样固结后的高度 h_c 、面积 A_c 和体积 V_c 按式 (4)、(5)、(6)计算。单位分别为 cm, cm², cm³。

$$h_c = h_0 - \Delta h_c$$
(4)

$$V_c = h_c \cdot A_c$$
(6)

式中:

 h_0 ——试样初始高度,cm;

 Δh_c ——固结下沉量,cm;

 V_0 ——试样初始体积,cm³;

 $\Delta V_{\rm c}$ ——固结排水量,cm³。

- 7.2 剪时面积, A_a 计算,剪切时面积 A_a 按式(7)、(8)、(9)计算。
 - a) 不固结不排水剪

$$A_{a} = \frac{A_{0}}{1 - \varepsilon_{1}} \qquad \dots (7)$$

b) 固结不排水剪

$$A_{a} = \frac{A_{c}}{1 - \varepsilon_{1}} \qquad \qquad \dots$$

c) 固结排水剪

$$A_{a} = \frac{V_{c} - \Delta V_{i}}{h_{c} - \Delta h_{i}}$$
 (9)

式中:

 A_0 ——试样初始面积,cm²;

ε1 — 轴向应变,%;

 Δh_i ——固结排水剪时试样高度变化,cm;

 ΔV_i —— 固结排水剪时试样体积变化, cm³;

 A_a ——剪切时面积, cm²。

7.3 应力计算

a) 主应力差 $(\sigma_1 - \sigma_3)$,按式(10)计算:

$$(\sigma_1 - \sigma_3) = \frac{P}{A_s} \tag{10}$$

式中:

 σ_1 、 σ_3 ——分别为最大主应力和最小主应力,kPa;

P——轴向总出力,kN。

注:公式 1~10 见 SD128。

b) 不排水剪的有效应力按式(11)、(12)计算:

$$\sigma'_{3} = \sigma_{3} - u$$
(12)

式中:

 σ_1, σ_3 ——分别为最大有效主应力和最小有效主应力,kPa;

u——孔隙水压力,kPa。

7.4 绘制主应力差 $(\sigma_1 - \sigma_3)$ 与轴向应变 ε_1 关系曲线,绘制主应力差 $(\sigma_1 - \sigma_3)$ 与轴向应变 ε_1 关系曲线,

见图 4。

7.5 绘制应力路径曲线。

以 $\frac{1}{2}(\sigma_1-\sigma_3)$ 为纵坐标,以 $\frac{1}{2}(\sigma_1+\sigma_3)$ 或 $\frac{1}{2}(\sigma'_1+\sigma'_3)$ 为横坐标,绘制应力路径曲线,如图 5 所示。

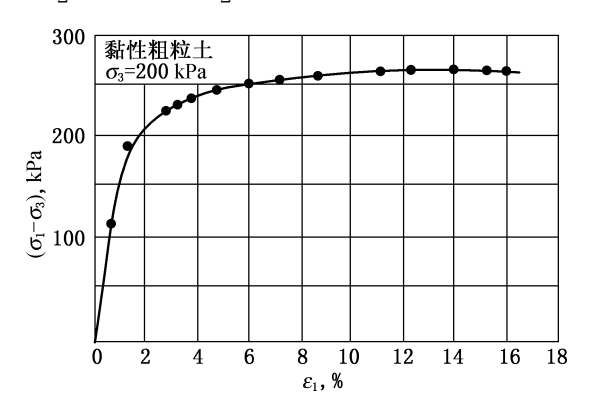


图 4 $(\sigma_1 - \sigma_3)$ 与 ε_1 关系曲线

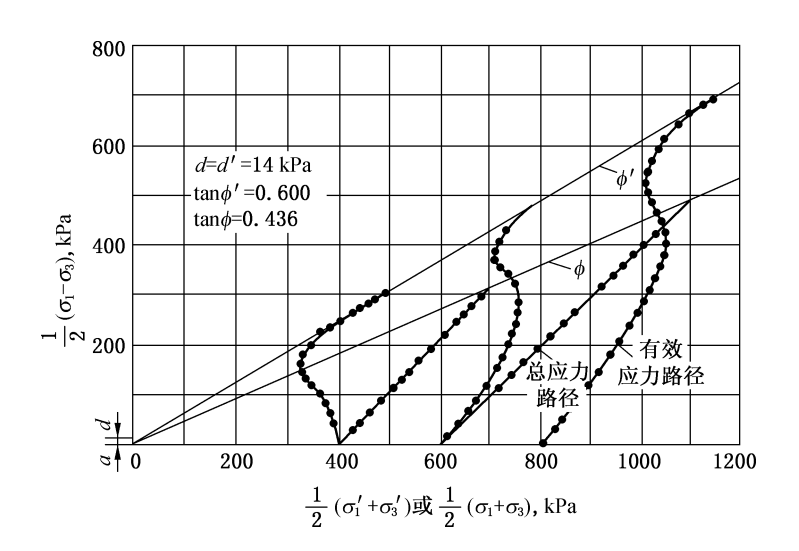


图 5 应力路径曲线

7.6 确定破坏强度值

根据 $(\sigma_1 - \sigma_3)$ 与 ϵ_1 关系曲线,计算破坏强度值,无峰值,则取轴向应变 $\epsilon_1 = 15\%$ 时的 $(\sigma_1 - \sigma_3)$ 值计算破坏强度值,或按应力路径曲线确定强度参数。

7.7 绘制强度包线

以法向应力 σ 为横坐标,以剪应力 τ 为纵坐标,在横坐标上,以 $\frac{1}{2}(\sigma_1 + \sigma_3)$ 或 $\frac{1}{2}(\sigma'_1 + \sigma'_3)$ 为中心, $\frac{1}{2}(\sigma_1 - \sigma_3)$ 为半径,绘莫尔应力圆。如图 6 所示,诸圆包线的倾角即为内摩擦角 φ 或 φ' ,包线在纵坐标上的截距即为凝聚力 C 或 C'。

7.8 抗剪强度指标计算

按应力路径标准确定抗剪强度指标:凝聚力和内摩擦角。按式(13)、(14)计算。

$$\varphi = \sin^{-1}(\tan \psi)$$
或 $\varphi' = \sin^{-1}(\tan \psi')$ (13)
$$C = d/\cos \varphi$$
 或 $C' = d'\cos \varphi'$ (14)

式中:

 φ,φ' ——分别为内摩擦角和有效内摩擦角,(°);

C、C'——分别为凝聚力和有效凝聚力,kPa;

 ψ,ψ' ——应力路径曲线,诸线破坏点或密集点连线的倾角,(°);

d、d'——上述连线在纵轴上的截距,kPa。

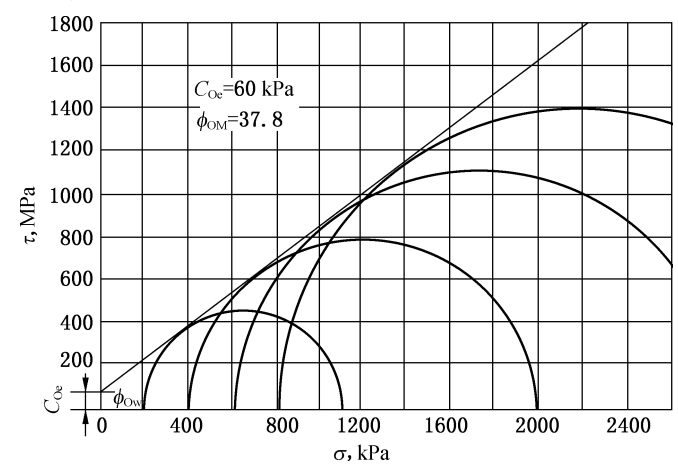


图 6 强度包线图

7.9 其他指标计算

7.9.1 密度

a) 初始密度 ρ₀ 按式(15)计算

式中:

 ρ_0 ——试样制作初始密度,g/cm³;

G----试样质量,g;

 V_0 ——试样体积,cm³。

b) 固结密度 ρ_c 按式(16)计算

$$\rho_{c} = \frac{G + W}{V_{c}} \qquad \dots (16)$$

式中:

 ρ_c ——试样饱和固结后密度,g/cm³;

W——饱和固结后试样中的水质量,g;

 V_{c} ——固结后试样体积, cm^{3} 。

7.9.2 轴向变形模量 E 按式(17)计算

$$E = \frac{\sigma_1 - \sigma_3}{\varepsilon_1} \qquad \cdots \qquad (17)$$

式中:

E---轴向变形模量,kPa。

7.9.3 体积应变 ε, 、横向应变 ε, 和泊松比 υ

$$\varepsilon_{v} = \frac{\Delta V_{i}}{V_{c}} \qquad \dots (18)$$

$$v = \frac{\varepsilon_{d}}{\varepsilon_{1}} \qquad \dots (20)$$

7.9.4 孔隙压力系数 A。

式中:

A——固结不排水剪时的孔隙压力系数;

 u_d ——试样在 $(\sigma_1 - \sigma_3)$ 作用下产生的孔隙水压力,kPa;

B——试样在固结周围压力 σ_3 作用下的孔隙水压力系数,计算见式(3)。

7.10 微机自动检测试验成果

当采用微机自动检测试验时,以上计算过程、测定成果及主应力差 $(\sigma_1 - \sigma_3)$ 与轴向应变 ε_1 曲线、应力路径曲线、强度包线等均由计算机系统并绘制打印。

附 录 **A** (提示的附录)

三轴固结试验记录表

 工程名称:
 记录者:

 岩土名称:
 计算者:

 试验日期:
 年月日
 校核者:

固 结 压 力:σ3= 10⁵ Pa, 试样重量: G_w = kg 真空后试样高度: H_1 = $H_2 = \text{cm}, H_3 =$ mm, cm 周长:L1= $L_2 =$ $cm, L_3 =$ mm, cm 体积:V₀= cm^3 固结前:轴尺读数 mm, 试样高度 H₀= cm 固结后:轴尺读数 cm mm, 试样高度 H。=

实际时间	相对时间	量水管读数		排水量	体应变	孔隙压力	备注
	(min)	上(cc)	下(cc)	(cc)	(%)	(10 ⁵ Pa)	甘 住
	0						
	1						
	4						
	9						
	16						
	25						
	36						
	49						
	64						
	81						
	100						
	121						
	144						
	169						
	196						
	225						
	256						

煤炭科学研究总院抚顺分院露天所边坡工程实验室

附 录 B

(提示的附录)

三轴 CU 法试验记录表

工程名称: 固结后试样高度 $H_c=$ cm 记录者: 岩土名称: 固结后试样体积 $V_c=$ cm³ 计算者:

试验编号: 周围压力 σ_3 = 10^5 Pa 试验日期: 年 月 日

四型細 与:)HJ	四压刀 03			10 I a	M 3	业 口 対 :	T /1	н	
相对 时间 (min)	轴向变形 Δh_i (mm)	ϵ_1	孔隙压力 u (10 ⁵ Pa)	$\boldsymbol{\varepsilon}_3$	钢环量表 读数 R (0.01mm)	主应力差 σ ₁ - σ ₂ (10 ⁵ Pa)	有效主应 力 σ' 1 (10 ⁵ Pa)	有效主 应力比 σ' ₁ /σ' ₃		备	注
0											
1										-	
2										1	
3										1	
4										1	
5										1	
6										-	
7										1	
8										1	
9										1	
10										1	
11										1	
12											
13											
14										1	
15										1	
16										1	
17											
18											
19											
20											
21]	
22											
23											
24											
25											
26											
27											
28											
29											
30											

附 录 **C** (提示的附录)

三轴 CD 法试验记录表

工程名称: 固结后试样高度 $H_c=$ cm 记录者: 岩土名称: 固结后试样体积 $V_c=$ cm³ 计算者:

试验编号: 周围压力 σ_3 = 10^5 Pa 试验日期: 年 月 日

			m/m/y • ;					z F793.	1 /4	
相对时间	轴向变形 Δh;	轴向应变 ε ₁	试样体	z变 Δ _v	体积应变 ε _ν	径向应变 ε₃	钢环量表 读数 R	主应力差 σ ₁ – σ ₂		备注
(min)	(mm)	(%)	上(cc)	下(cc)	(%)	(%)	(0.01mm)			田 江
0										
1										
2										
3										
4										
5										
6										
7										
8										
9										
10										
11										
12										
13										
14										
15										
16										
17										
18										
19										
20										
21										
22										
23										
24										
25										
26										
27										
28										
29										
30										

11